

и. р., к-ую, однако, можно восстановить, если при распространении радиоволн или при их приёме не произошло к. л. усреднения по времени, частоте или пространству.

Явление И. р. используют при создании *антенн* с узкой (или многолепестковой) диаграммой направленности излучения, для получения сведений о параметрах среды.

И. р. можно создать искусственно в приёмной радиоаппаратуре путём сложения сигналов, принятых в разл. точках пространства (или на разных частотах) (см. *Радиоинтерферометр, Апертурный синтез*).

Возможна интерференция между радиоволной и волной др. типа, напр. плазменной волной. Последнее имеет место, в частности, при трансформации радиоволны в плазменную и используется при возбуждении искусств. турбулентности в ионосферной плазме.

Лит.: Герель Г. С., Колебания и волны, 2 изд., М., 1959; Вест. Ч., Голографическая интерферометрия, пер. с англ., М., 1982. *Л. М. Ерухимов.*

ИНТЕРФЕРЕНЦИЯ СВЕТА — пространственное перераспределение энергии светового излучения при наложении двух или неск. световых волн, частный случай общего явления *интерференции волн*. Нек-рые явления И. с. исследовались ещё И. Ньютоном в 17 в., но не могли быть им объяснены с точки зрения его корпускулярной теории. Правильное объяснение И. с. как типично волнового явления было дано в нач. 19 в. Т. Юнгом (Th. Young) и О. Френелем (A. Fresnel). Наиболее известна И. с., характеризующаяся образованием стационарной (постоянной во времени) интерференционной картины (и. к.) — регулярного чередования в пространстве областей повышен. и пониж. интенсивности света, получающейся в результате наложения когерентных световых пучков, т. е. в условиях постоянной (или регулярно меняющейся) разности фаз. Реже и только в спец. условиях эксперимента наблюдаются явления нестационарной И. с., к к-рым относятся световые биения и эффекты корреляции интенсивностей. Строгое объяснение явлений нестационарной И. с. требует учёта как волновых, так и корпускулярных свойств света и даётся на основе квантовой электродинамики.

Стационарная И. с. возникает при наличии *когерентности* (определ. корреляции фаз) налагающихся волн. Взаимно когерентные световые пучки могут быть получены путём разделения и последующего сведения лучей, исходящих от общего источника света. При этом требование когерентности налагает нек-рые ограничения на угл. размеры источника и на ширину спектра излучения.

Образование и. к. удобно проследить на идеализированной схеме классич. эксперимента Юнга (рис. 1).

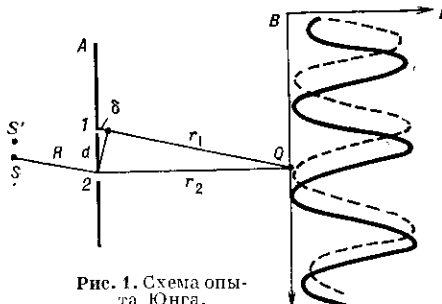


Рис. 1. Схема опыта Юнга.

Точечный источник света *S* с длиной волны λ освещает два малых отверстия в экране *A*, к-ые становятся вторичными взаимно когерентными источниками света (см. *Дифракция света*). На экране *B* наблюдается и. к., вызванная интерференцией двух созданных систем волн. В соответствии с *суперпозицией принципом* напряжённость эл.-магн. поля E_Q в произвольной точке *Q* экрана *B* даётся суммой напряжённостей полей E_{1Q}

и E_{2Q} , созданных в точке *Q* источниками 1 и 2. Наблюдаемой величиной является интенсивность излучения, падающего на экран, пропорциональная квадрату напряжённости поля. Представляя напряжённость поля $E_i(t, s)$ каждого источника ($i=1, 2$) гармонич. ф-цией времени t и расстояния s вдоль направления распространения

$$E_i(t, s) = E_i \cos 2\pi(vt + s/\lambda - \phi_0),$$

где λ — длина волны, v — частота, ϕ_0 — нач. фаза световых колебаний, можно при надлежащем выборе единиц измерения напряжённости поля получить выражение для интенсивности I_Q в точке *Q* в виде:

$$I_Q = \langle [E_{1Q}(t, s) + E_{2Q}(t, s)]^2 \rangle = I_1 + I_2 + 2\sqrt{I_1 I_2} \cos 2\pi \frac{\delta - \delta_0}{\lambda}. \quad (1)$$

Здесь $I_1 = \langle E_{1Q}^2 \rangle$ и $I_2 = \langle E_{2Q}^2 \rangle$ — интенсивности света в точке *Q*, создаваемые каждым источником отдельно; δ — оптич. разность хода интерферирующих лучей; $\delta = n_1 r_1 - n_2 r_2$; r_1 и r_2 — расстояния от отверстий 1 и 2 до точки *Q*; n_1 и n_2 — показатели преломления среды (в случае воздуха $n_1 = n_2 = 1$); δ_0 — оптич. разность хода лучей от источника *S* до точек 1 и 2.

Из (1) следует, что интенсивность света в данной точке экрана отличается от суммы интенсивностей $I_1 + I_2$, создаваемых источниками 1 и 2 при независимом освещении ими экрана. При совместном действии когерентных источников 1 и 2 истинная интенсивность *I* оказывается отличающейся на величину, описываемую третьим, интерференционным, членом ф-лы (1). Интерференция, разумеется, не меняет полной световой энергии, попадающей на экран *B*, приводя лишь к её перераспределению с образованием характерной и. к. На экране *B* возникает система световых полос, интенсивность к-рых в сечении плоскостью, проходящей через источник и отверстия 1 и 2, изменяется, как показано графически сплошной линией на правой части рис. 1. Макс. интенсивность в и. к. наблюдается при разности хода, равной чётному числу полуволн, а минимальная — при разности хода, равной нечётному числу полуволн.

В реальном опыте конечный размер источника света можно учесть, рассмотрев и. к. от другого, чуть смещённого относительно *S* точечного источника *S'*, дающего смещённую и. к. (пунктир). Сложение множества таких картин от всех точек источника приводит к смазыванию и. к., т. е. к падению её контраста. Суммарная и. к. будет мало отличаться от идеальной (создаваемой точечным источником), если линейный размер источника ΔS удовлетворяет условию $\Delta S < \lambda R/d$ пространственной когерентности (см. *Когерентность света*) (d — расстояние между отверстиями 1 и 2, R — расстояние от источника до экрана *A*).

Конечная ширина $\Delta\lambda$ спектра излучения источника также является причиной снижения контраста и. к., сужения тем большего, чем выше порядок интерференции η , равный целой части отношения δ/λ . При освещении белым светом на экране видна бледая центр. полоса нулевого порядка с примыкающими к ней быстро исчезающими радужными полосами. Окраска полос связана с тем, что положение максимумов интенсивности, имеющих порядок $\eta \neq 0$, зависит от длины волны. При квазимонохроматич. освещении ($\Delta\lambda \ll \lambda$, ср. длины волн) наблюдается множество чётких полос, отвечающих порядку интерференции вилоть до $\eta \approx \lambda/\Delta\lambda$.

Существует множество схем опытов и естеств. ситуаций, в к-рых наблюдается И. с. Их наиб. существенные различия связаны с различиями в способах получения когерентных пучков света и в числе интерферирующих лучей.

По способам создания когерентных пучков света выделяют схемы с делением волнового фронта и с делением амплитуды.

При первом способе сводятся вместе световые пучки, исходно различающиеся направлением распростране-